

2. Flexion d'un arbre cylindrique

2.1 Formulation du problème de flexion simple normale

On considère un arbre cylindrique de section S quelconque de longueur l et de génératrices parallèles à \underline{e}_1 . On désigne par S_0 et S_l les sections terminales. L'origine O du repère est prise au centre d'inertie de la section S_0 et les axes (O, \underline{e}_2) et (O, \underline{e}_3) coïncident avec les axes principaux d'inertie de S_0 . Le choix induit les relations suivantes pour toute section S dans ce repère :

$$\int_S x_2 dS = 0 \quad \int_S x_3 dS = 0 \quad I_{23} = \int_S x_2 x_3 dS = 0$$

(O centre de gravité géométrique situé sur $O\underline{e}_1$)

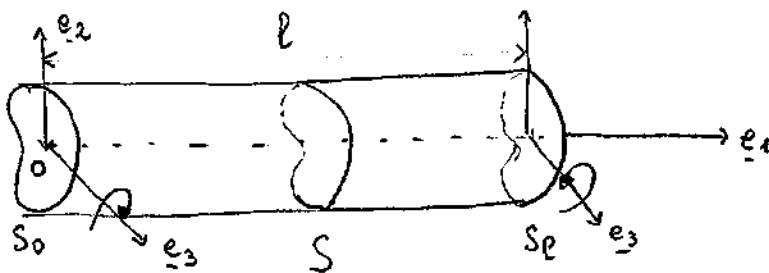
Soit $I_{\alpha\beta} = \int_S x_\alpha x_\beta dS$ la composante $(\alpha\beta)$ du tenseur d'inertie $\underline{\underline{I}}$

$\underline{\underline{I}}$ est symétrique donc possède deux directions principales orthogonales

Si l'on choisit comme axe de coordonnées (O, \underline{e}_2) , (O, \underline{e}_3) ces deux directions principales alors $\underline{\underline{I}}$ est diagonal et on a $I_{23} = 0$. On note

$$I_3 = \int_S x_2^2 dS \quad \text{et} \quad I_2 = \int_S x_3^2 dS$$

I_2 et I_3 sont appelés moments d'inertie géométriques principaux de la section S



L'arbre est élastique homogène isotrope. On étudie son équilibre isotherme sous les sollicitations suivantes :

- i) les efforts volumiques sont négligeables
- ii) la surface latérale $\partial R \setminus (S_0 \cup S_l)$ est libre d'effort
- iii) les faces extrêmes sont soumises à un couple de la

forme :

$\underline{R} = \underline{0}$
résultante
nulle

$$\underline{M}(0) = M_3 \underline{e}_3 \quad \text{sur } S_0$$

Moment en 0 porté par \underline{e}_3 appelé moment de flexion

Sur la section S_0 , le couple est opposé: $\underline{R} = \underline{0} \quad \underline{M}(0) = -M_3 \underline{e}_3 \quad \text{sur } S_0$

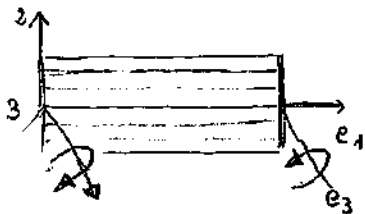
le couple est appliqué par rapport à un axe principal d'inertie de la section
On parle de flexion normale.

Comme pour le problème de torsion, le problème ainsi posé n'est pas un problème régulier; on ne connaît pas les efforts surfaciques en tout point du bord. Par application du principe de Saint-Venant, on va chercher une répartition d'efforts surfaciques (sur S_0 et S_1) la plus simple possible dont le torseur associé est un couple de moment porté par \underline{e}_3 .

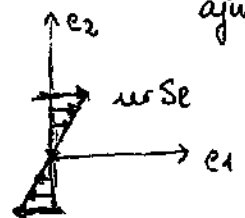
considérons la densité surfacique d'effort de la forme:

$$F_2 = 0 \quad F_3 = 0 \quad \text{sur } S_0 \text{ et } S_1$$

et $F_1 = k x_2 \quad \text{sur } S_1$ et $F_1 = -k x_2 \quad \text{sur } S_0$ où k est une constante à ajuster



($M_3 < 0$)



(section terminale)

On s'empare pour cela de la forme attendue de la déformée d'une barre en flexion, les fibres parallèles à $O \underline{e}_1$ en partie supérieure subissent un étirement et celles en partie inférieure une contraction

Calculons le torseur des efforts appliqués associés sur S_1 :

$$R_1 = \int_{S_1} k x_2 dS = 0 \quad \text{du fait du choix du repère} \quad , R_2 = R_3 = 0.$$

(0 étant centré de gravité géométrique)

$$\underline{OM} \wedge \underline{F} : \begin{vmatrix} l \\ x_2 \\ x_3 \end{vmatrix} \wedge \begin{vmatrix} F_1 \\ 0 \\ 0 \end{vmatrix} = \begin{vmatrix} 0 \\ x_3 F_1 = k x_2 x_3 \\ -x_2 F_1 = -k x_2^2 \end{vmatrix}$$

$$\text{d'où} \quad M_1 = 0 \quad ; \quad M_2 = \int_S k x_2 x_3 dS = 0 \quad M_3 = -k \int_S x_2^2 dS = -k I_3$$

le moment est bien porté par \underline{e}_3

En posant $k_2 = -\frac{M_3}{I_3}$ on a bien $M_3 = K_3$.

La densité surfacique d'effort $F_1 = -\frac{K_3}{I_3} x_2$ $F_2 = 0$ $F_3 = 0$ sur Se

correspond à un torseur de résultante nulle et de moment en O porté par (O, \underline{e}_3)

De même, la densité d'effort $F_1 = \frac{K_3}{I_3} x_2$, $F_2 = 0$, $F_3 = 0$ sur Se

correspond à un torseur de résultante nulle et de moment en O $-K_3 \underline{e}_3$

On peut alors formuler le problème régulier suivant:

$$\left\{ \begin{array}{l} \text{div } \underline{\underline{\sigma}}(x_1, u_1, u_2) = 0 \quad \forall x \in \Omega \\ \underline{\underline{\sigma}} = \lambda \text{tr} u \underline{\underline{E}} + 2\mu \underline{\underline{E}} \quad \forall x \in \Omega \\ \underline{\underline{E}} = \frac{1}{2} (\nabla u + \nabla u^T) \quad x \in \Omega \\ \underline{\underline{\sigma}} \cdot \underline{n} = \underline{0} \quad \text{sur } \partial\Omega \setminus (So \cup Se) \quad \text{avec } \underline{n} = (0, n_2, n_3) \\ \quad \quad \quad n_2^2 + n_3^2 = 1 \\ \underline{\underline{\sigma}} \cdot \underline{n} = -\frac{K_3}{I_3} x_2 \underline{e}_1 \quad \text{sur } Se \quad \text{avec } \underline{n} = \underline{e}_1 \\ \underline{\underline{\sigma}} \cdot \underline{n} = \frac{K_3}{I_3} x_2 \underline{e}_1 \quad \text{sur } So \quad \text{avec } \underline{n} = -\underline{e}_1 \end{array} \right.$$

Il s'agit d'un problème de type II, bien posé au sens où la barre est bien en équilibre global. La solution et déplacement n'est pas unique mais définie à un déplacement de corps rigide près. En revanche la solution en contraintes et déformation est unique.

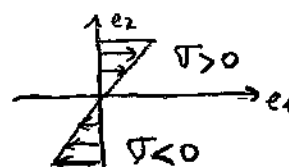
2.2. Résolution par l'approche contrainte.

D'après l'idée que l'on a de la déformation d'un élément de matière,



On est amené à penser ^{que} les contraintes sont des contraintes de traction en haut et de compression.

Et que l'intensité dépend de x_2 seulement.



d'où la forme

$$\underline{\Pi} = k x_2 \underline{e}_1 \otimes \underline{e}_1 = \begin{pmatrix} k x_2 & 0 & 0 \\ 0 & 0 & 0 \\ 0 & 0 & 0 \end{pmatrix}_{(\underline{e}_1, \underline{e}_2, \underline{e}_3)}$$

$\underline{\Pi}$ vérifie bien les équations d'équilibre, les conditions de surface latérale libre d'effort et en prenant $k = -\frac{\mathcal{H}_3}{I_3}$ les conditions sur les faces S_0 et S_2 en effort sont bien satisfaites donc $\underline{\Pi} \in SA$ avec $\underline{\Pi} = -\frac{\mathcal{H}_3}{I_3} x_2 (\underline{e}_1 \otimes \underline{e}_1)$

le champ de déformation associé est donné par la loi de comportement.

$$\underline{\varepsilon}(x) = \begin{bmatrix} -\frac{\mathcal{H}_3}{EI_3} x_2 & 0 & 0 \\ 0 & +\frac{\mathcal{H}_3}{EI_3} x_2 & 0 \\ 0 & 0 & \frac{\mathcal{H}_3}{EI_3} x_2 \end{bmatrix}_{(\underline{e}_1, \underline{e}_2, \underline{e}_3)}$$

$\underline{\varepsilon}$ est linéaire en x_2 (du premier degré) les équations de compatibilité sont donc automatiquement vérifiées. le champ $\underline{\varepsilon}$ est donc intégrable.

L'intégration conduit à la solution particulière :

$$\begin{cases} u_1 = -\frac{\mathcal{H}_3}{EI_3} x_2 x_1 + \varphi_1(x_2, x_3) \\ u_2 = \frac{\mathcal{H}_3}{EI_3} \frac{x_2^2}{2} + \varphi_2(x_1, x_3) \\ u_3 = \frac{\mathcal{H}_3}{EI_3} x_2 x_3 + \varphi_3(x_1, x_2) \end{cases} \quad \text{avec} \quad \begin{cases} \frac{\partial \varphi_2}{\partial x_3} + \frac{\mathcal{H}_3}{EI_3} x_3 + \frac{\partial \varphi_3}{\partial x_2} = 0 \\ \frac{\partial \varphi_2}{\partial x_1} + \frac{\mathcal{H}_3}{EI_3} x_1 + \frac{\partial \varphi_1}{\partial x_2} = 0 \\ \frac{\partial \varphi_1}{\partial x_3} + \frac{\partial \varphi_3}{\partial x_1} = 0 \end{cases}$$

$$\text{d'où en dérivant} \quad \begin{cases} \frac{\partial^2 \varphi_2}{\partial x_3^2} + \frac{\mathcal{H}_3}{EI_3} = 0 \\ \frac{\partial^2 \varphi_2}{\partial x_1^2} + \frac{\mathcal{H}_3}{EI_3} = 0 \end{cases} \quad \text{et} \quad \begin{cases} \frac{\partial^2 \varphi_3}{\partial x_2^2} = 0 & \frac{\partial^2 \varphi_3}{\partial x_1^2} = 0 \\ \frac{\partial^2 \varphi_1}{\partial x_3^2} = 0 & \frac{\partial^2 \varphi_1}{\partial x_2^2} = 0 \end{cases}$$

$$\text{soit} \quad \varphi_2 = \frac{\mathcal{H}_3}{2EI_3} x_1^2 - \frac{\mathcal{H}_3}{EI_3} \frac{x_3^2}{2}, \quad \varphi_3 = 0 \quad \varphi_1 = 0 \quad \text{solution particulière.}$$

d'où

$$\begin{cases} u_1 = -\frac{M_3}{EI_3} x_2 x_1 \\ u_2 = \frac{M_3}{EI_3} \frac{1}{2} \left[x_1^2 + \sqrt{x_2^2 - x_3^2} \right] \\ u_3 = \frac{\sqrt{M_3}}{EI_3} x_2 x_3 \end{cases}$$

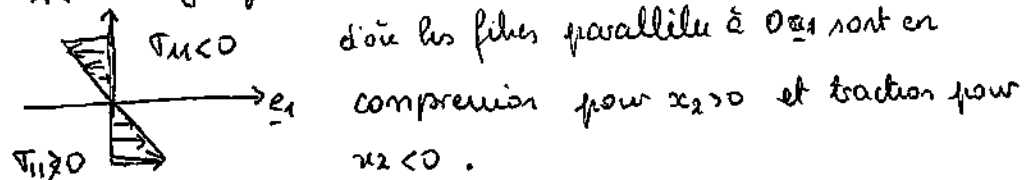
Et la solution générale s'obtient en ajoutant un déplacement de corps rigide (et donc un déplacement solution)

2.3 Analyse de la solution.

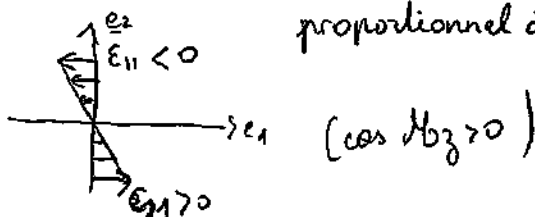
Forme du champ de contrainte.

Le champ de contrainte est un champ uniaxial dans la direction \underline{e}_1 .
la distribution des contraintes est linéaire en fonction de x_2 et indépendante de la section considérée (x_1).

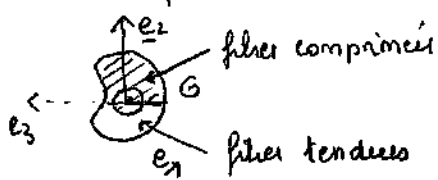
- Si $M_3 > 0$ σ_{11} est négatif pour $x_2 > 0$ et positif pour $x_2 < 0$



- On a ϵ_{11} est négatif pour $x_2 > 0$ donc les fibres supérieures ($x_2 > 0$) subissent un raccourcissement alors que les fibres inférieures subissent un allongement proportionnel à x_2



- Soit G le centre d'inertie d'une section droite. L'axe (G, \underline{e}_3) est appelé axe neutre de la section. Il sépare dans la section, la zone des fibres comprimées de celles des fibres tendues



Validité de l'hypothèse des petites perturbations

On cherche à préciser les hypothèses nécessaires sur la géométrie et les efforts pour que le cadre de l'hypothèse HPP reste valide. On doit d'abord s'assurer que les déformations sont petites, i.e. $|\underline{\nabla} \underline{u}| \ll 1$.

$$\epsilon \underline{\nabla} \underline{u} = \begin{pmatrix} -\frac{M_3}{EI_3} x_2 & -\frac{M_3}{EI_3} x_1 & 0 \\ \frac{M_3}{EI_3} x_1 & \frac{M_3}{EI_3} x_2 & -\frac{M_3}{EI_3} x_3 \\ 0 & \frac{M_3}{EI_3} x_3 & \frac{M_3}{EI_3} x_2 \end{pmatrix}$$

On doit donc avoir : $\left| \frac{M_3}{EI_3} x_2 \right| \ll 1$; $\left| \frac{M_3}{EI_3} x_1 \right| \ll 1$; $\left| \frac{M_3}{EI_3} x_3 \right| \ll 1 \quad \forall x_i$

On note D le diamètre maximal de la section droite (la plus grande largeur).

L'hypothèse HPP limite l'intensité des moments :

$$|M_3| \ll \frac{EI_3}{l} \quad , \quad |M_3| \ll \frac{EI_3}{D}$$

Par ailleurs, on doit également s'assurer de l'hypothèse des petits déplacements,

$$\text{soit } \begin{cases} \left| \frac{M_3}{EI_3} x_2 x_3 \right| \ll \text{longueur caractéristique} = l_c \\ \left| \frac{M_3}{EI_3} x_2 x_1 \right| \ll l_c \\ \left| \frac{M_3}{EI_3} \frac{x_1^2}{2} \right| \ll l_c \quad , \quad \left| \frac{M_3}{EI_3} \frac{x_2^2}{2} \right| \ll l_c \quad ; \quad \left| \frac{M_3}{EI_3} \frac{x_3^2}{2} \right| \ll l_c \end{cases}$$

Il faut à définir une longueur caractéristique pour le problème, qui peut être selon les cas la longueur de l'arbre ou le diamètre de la section et donc peut conduire à des nouvelles limitations. (Dans la pratique, on a souvent $\frac{l}{D} \quad 10 < \frac{l}{D} < 10^3$)

⇒ Déformée de la ligne moyenne

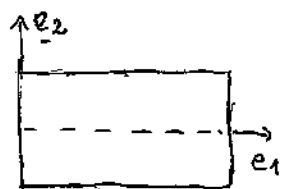
l'axe de l'arbre (O, \underline{e}_1) est appelé ligne moyenne ou filie moyenne de l'arbre.
c'est la ligne qui passe par les centres d'inertie des sections droites, d'équation $x_2 = x_3 = 0$

l'équation de la déformée s'écrit (en notant \underline{x} les coordonnées d'un point avant déformation et \underline{x} les coordonnées déformées)

$$\begin{cases} x_1 = X_1 + u_1(X_1, 0, 0) = X_1 \\ x_2 = 0 + u_2(X_1, 0, 0) = \frac{\mathcal{M}_3}{EI_3} \frac{1}{2} X_1^2 \\ x_3 = 0 + u_3(X_1, 0, 0) = 0 \end{cases}$$

Il s'agit d'un arc de parabole dans le plan $x_3 = 0$ qui s'écrit :

$$x_2 = \frac{x_1^2}{2R} \quad \text{avec} \quad R = \frac{EI_3}{\mathcal{M}_3}$$



(R est le rayon de courbure de la courbe $y = f(x)$)

$$\frac{1}{R} = f''(0) \quad \text{avec} \quad y = f(x) \\ f'(0) = f(0) = 0$$

- On a $\mathcal{M}_3 = EI_3 \frac{1}{R}$ le moment de flexion est relié au rayon de courbure de la ligne moyenne par un module EI_3 appelé module de rigidité à la flexion : cette relation est exploitée expérimentalement pour mesurer le module d'Young

- Compte tenu de l'hypothèse des petites transformations, l'arc de parabole peut en fait être confondu avec un arc de cercle de rayon R .

$$x_1^2 + (x_2 - R)^2 = R^2$$

en effet $\frac{x_2}{R} = \frac{x_1^2}{2R^2} = \frac{1}{2} \left(\frac{x_1^2 \mathcal{M}_3^2}{E^2 I_3^2} \right)$ et d'après HPP, on a $\frac{x_2}{R} \ll 1$ d'où

$$\frac{x_2}{R} \approx \frac{x_1^2}{2R^2} + \frac{x_2^2}{2R^2} \quad \text{avec} \quad \frac{x_2^2}{2R^2} \text{ correction d'ordre inférior}$$

d'où $x_1^2 + x_2^2 - 2x_2R = 0$

On parle de flexion circulaire

Deformée des section droites

On s'intéresse maintenant à la déformée d'une section $x_1 = \text{cte} = x_1^0$, D'après l'expression du déplacement, on a :

$$\begin{cases} x_1 = x_1^0 - \frac{M_3}{EI_3} x_2 x_1^0 \\ x_2 = x_2^0 + \frac{M_3}{EI_3} \frac{1}{2} (x_1^0^2 + \sqrt{x_2^2 - x_3^2}) \\ x_3 = x_3^0 + \sqrt{\frac{M_3}{EI_3} x_2 x_3} = x_3^0 \left[1 + \sqrt{\frac{M_3}{EI_3} x_2} \right] \end{cases}$$

de sorte que $x_1 = x_1^0 - \frac{M_3}{EI_3} x_1^0 \left[x_2 - \frac{M_3}{EI} \frac{1}{2} (x_1^0^2 + \sqrt{x_2^2 - x_3^2}) \right]$

d'où sous l'hypothèse HPP : $x_1 \approx x_1^0 - \frac{M_3}{EI_3} x_1^0 x_2$

cette équation est une relation linéaire en x_1, x_2 et indépendante de x_3

les points de la section $x_1 = x_1^0$ restent donc dans un plan contenant l'axe e_3

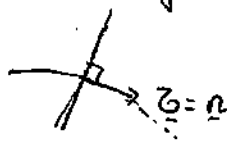
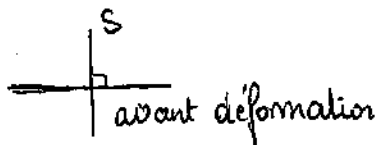
qui a tourné de $\frac{M_3}{EI_3} x_1^0 = +w_{12}$ par rapport à l'axe e_3

Sous l'hypothèse HPP, les section droites restent droites. Elles se déforment toutes de la même manière et subissent une rotation autour de e_3 proportionnelle à leur abscisse : $w(x_1) = \frac{M_3}{EI_3} x_1$

Par ailleurs, les sections droites restent normales à la fibre moyenne.

En effet le vecteur normal à la section droite vaut $\underline{n} = \underline{e}_1 + \frac{x_1^0}{R} \underline{e}_2$ (déformé)

et le vecteur tangent à la ligne moyenne déformée vaut $\underline{t} = \underline{e}_1 + \frac{x_1}{R} \underline{e}_2$.



$$\begin{cases} x_1 = x_1^0 \\ x_2 = \frac{1}{2} \frac{x_1^0^2}{R} \end{cases}$$

les section droites restent orthogonales à la fibre moyenne

On parle de flexion circulaire (les fibres parallèles à Ox se transforment en des arcs de cercles) et de flexion normale (les fibres fléchissent dans le plan ortho

gonal à l'axe des moments appliqués.

• On regroupe sous le nom d'hypothèses de Navier-Bernoulli, les hypothèses

- sections droites restent planes

- sections droites restent orthogonales à la ligne moyenne.

Cette hypothèse sert de base à l'établissement de certaines théories de milieux curvilignes

□ Autre façon de poser le problème :

La solution construite en imposant des conditions aux limites en effet sur les faces S_0 et S_e est aussi solution du problème avec des conditions

mixtes :

$$\begin{cases} F_2 = 0, F_3 = 0 & \text{sur } S_0 \text{ et } S_e \\ u_1 = 0 & \text{sur } S_0 \quad \text{et} \quad u_1 = 2w(l)x_2 \end{cases}$$

où $w(l)$ est une rotation imposée autour de \underline{e}_3 $w(l) = \frac{\kappa_3}{EI_3} l$

Ces conditions sont imposées à travers un contact sans frottement avec des plateaux rigides, l'un fixe en $x_1 = 0$ et l'autre soumis à une rotation autour de l'axe \underline{e}_3 .

D'après le principe de Saint-Venant, on admet que cette solution est également valable aux effets d'extrémité près pourvu que l'arbre soit suffisamment élancé si l'on applique d'autres conditions aux limites conduisant à des effets marginaux tels que les torseurs associés aient une résultante nulle et des moments égaux à $\pm M_3 \underline{e}_3$

On peut par exemple encasturer complètement la face S_0 .

□ Limite d'élasticité

D'après l'expression du tenseur des contraintes uniaxial, les contraintes

normales principales sont données par

$$\sigma_1 = -\frac{M_3}{I_3} x_2 \quad \sigma_2 = 0 \quad \text{et} \quad \sigma_3 = 0 \quad \text{et sont associées à } \underline{e}_1, \underline{e}_2, \underline{e}_3$$

axe principaux d'inertie. la contrainte tangentielle maximale vaut

$$-\frac{M_3}{I_3} \frac{x_2}{2} \quad \text{si} \quad M_3 < 0 \quad \left(\text{ou} \quad \frac{M_3}{I_3} \frac{x_2}{2} \quad \text{si} \quad M_3 > 0 \right)$$

Elle atteint son maximum pour les fibres les plus éloignées de l'axe moyen. Si l'on note σ_0 la limite d'élasticité du matériau (égale en traction et compression, la poutre reste élastique tant que :

$$|M_3| < \sigma_0 \frac{I_3}{h} \quad (\text{avec } h \text{ la distance de la fibre la plus éloignée à l'axe moyen})$$

en adoptant le critère de Tresca par exemple dont la fonction de charge est donnée par : $f(\sigma) = (\max[|\sigma_1 - \sigma_2|, |\sigma_2 - \sigma_3|, |\sigma_1 - \sigma_3|] - \sigma_0)$

● 2.4. Flexion déviée

la flexion déviée est caractérisée par des sollicitations appliquées sur S_0 se dont la résultante est nulle et le moment dirigé suivant une direction quelconque parallèle à $(0, \underline{e}_2, \underline{e}_3)$ soit :

$$\underline{M} = M_2 \underline{e}_2 + M_3 \underline{e}_3 \quad \text{sur } S_e \quad \text{et} \quad -\underline{M} \quad \text{sur } S_0$$

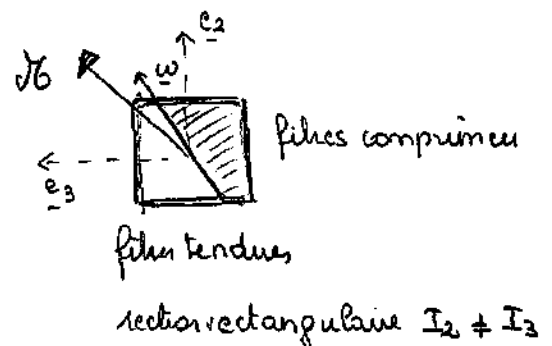
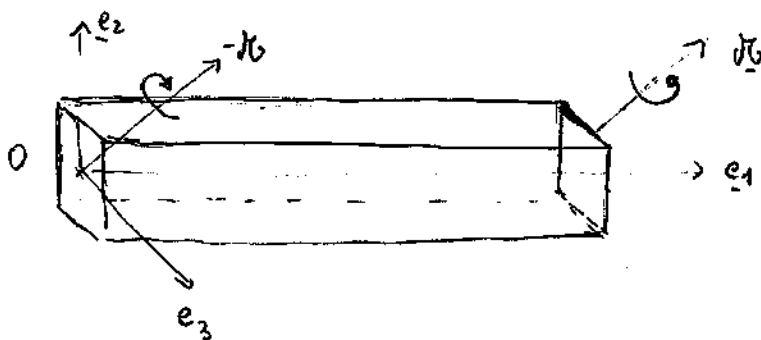
la solution s'obtient en exploitant le principe de superposition, en sommant deux solutions de flexion simple, l'une normale à $(0, \underline{e}_2)$, l'autre normale à $(0, \underline{e}_3)$. On obtient aisément

$$\left| \begin{aligned} \underline{\sigma} &= \left(-\frac{M_3}{I_3} x_2 + \frac{M_2}{I_2} x_3 \right) (\underline{e}_1 \otimes \underline{e}_1) \\ \underline{\varepsilon} &= \left(-\frac{M_3}{E I_3} x_2 + \frac{M_2}{E I_2} x_3 \right) (\underline{e}_1 \otimes \underline{e}_1 - \nu (\underline{e}_2 \otimes \underline{e}_2 + \underline{e}_3 \otimes \underline{e}_3)) \end{aligned} \right.$$

$$\begin{aligned}
 u_1 &= \left(-\frac{M_3}{EI_3} x_2 + \frac{M_2}{EI_2} x_3 \right) x_1 \\
 u_2 &= \frac{M_3}{EI_3} \left(\frac{x_1^2}{2} + \sqrt{\frac{x_2^2 - x_3^2}{2}} \right) - \frac{M_2}{EI_2} x_2 x_3 \\
 u_3 &= \frac{M_3}{EI_3} x_2 x_3 + \frac{M_2}{EI_2} \left(-\frac{x_1^2}{2} + \sqrt{\frac{x_2^2 - x_3^2}{2}} \right)
 \end{aligned}$$

- les profils des déformations et des contraintes sont indépendants de x_1 , ils sont linéaires en x_2 et x_3 sur une section droite
- les sections droites restent planes et orthogonales aux fibres
- la droite $-\frac{M_3}{EI_3} x_2 + \frac{M_2}{EI_2} x_3 = 0$ dans le plan des sections droites est l'axe neutre qui sépare les fibres comprimées des fibres tendues
- le vecteur rotation d'une section droite

$$\omega(x_1) = \left(-\frac{M_3}{EI_3} \underline{e}_3 + \frac{M_2}{EI_2} \underline{e}_2 \right) x_1$$
 n'est pas parallèle à la direction du moment de flexion. (sauf si l'on se retrouve en flexion simple avec M_2 ou $M_3 = 0$). On dit que la flexion est déviée
- les fibres ont des déformées circulaires en HPP

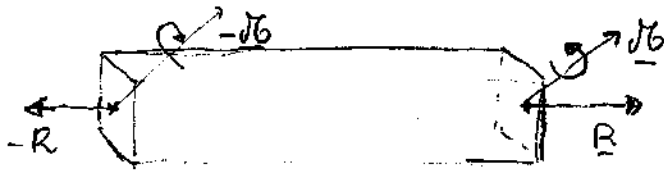


2.5 Flexion composée

le problème de flexion composée consiste à imposer sur la poutre des efforts extérieurs tels que le torseur associé est défini par :

une résultante $\underline{R} = R \underline{e}_1$ et un moment $\underline{M} = M_2 \underline{e}_2 + M_3 \underline{e}_3$ ou S_e et $-R, -M$ ou S_o

Il s'agit d'un problème de flexion déviée avec un effort normal R appliqué

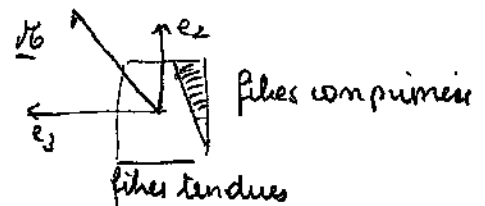


le champ de contrainte solution est donné par :

$$\underline{\sigma} = \left(\frac{R}{S} - \frac{M_3}{EI_3} x_2 + \frac{M_2}{EI_2} x_3 \right) \underline{e}_1 \otimes \underline{e}_1$$

l'axe neutre correspondant à un état de contrainte nul dans le plan d'une section a pour équation :

$$\frac{R}{S} - \frac{M_3}{EI_3} x_2 + \frac{M_2}{EI_2} x_3 = 0$$



Il est parallèle à l'axe neutre du problème de flexion déviée, mais ne passe plus par le centre géométrique de la section

On peut chercher à avoir un axe neutre à l'extérieur de la section pour que toutes les fibres soient tendues ou au contraire comprimées en jouant sur les valeurs de $\frac{R}{S}$, $\frac{M_3}{I_3}$, $\frac{M_2}{I_2}$, (par exemple lorsque le matériau constitutif est fragile)

● 2.6 Problème de Saint-Venant

Ce problème consiste à imposer des efforts surfaciques tels que la résultante du torseur associé est portée par \underline{e}_1 et le moment est quelconque

$$\underline{M} = C \underline{e}_1 + M_2 \underline{e}_2 + M_3 \underline{e}_3$$

La solution s'obtient en superposant la solution précédente à celle du problème de torsion.